

8 Mur de contenci3

8.6 Estabilitzaci3 tal3s. Vinculaci3 cercle i perfil. Plantilla

8.6.1 Estabilitzaci3 tal3s. Vinculaci3 cercle i perfil. Exemple

8.6 Estabilitzaci3 tal3s. Vinculaci3 cercle i perfil. Plantilla

L'estabilitzaci3 del talussos dep3n fonamentalment del pes espec3fic γf , de la cohesi3 c i de l'angle de fregament intern del terreny ϕ . Wolmar Fellenius exposa un m3tode per aconseguir l'estabilitat dels talussos. A partir d'un pol O i un desplaçament circular del terreny, es divideix el tal3s en una s3rie de llesques. Les consultes amb el professor Fruit3s Mañ3 han estat aclaridores. A cada llesca apareix una força motor M_i i una força equilibrant E_i . La força motor M_i dep3n 3nicament de l'angle α que forma el pes P_i amb la perpendicular a la tangent a la corba en el punt i . La força equilibrant E_i dep3n de l'angle α i tamb3 de l'angle ϕ . Finalment, el coeficient de seguretat del conjunt de les llesques 3s $K = (\sum E_i + \beta \cdot r \cdot c) / \sum M_i$. A la plantilla subministrada (fig. 8.9) es veu el sistema constructiu de les llesques. El pol O i el radi r modifiquen la seva posici3 amb punts m3bils i vinculen el perfil als punts A i D. El moviment d'aquests dos elements ens proporcionar3 el coeficient de seguretat K .

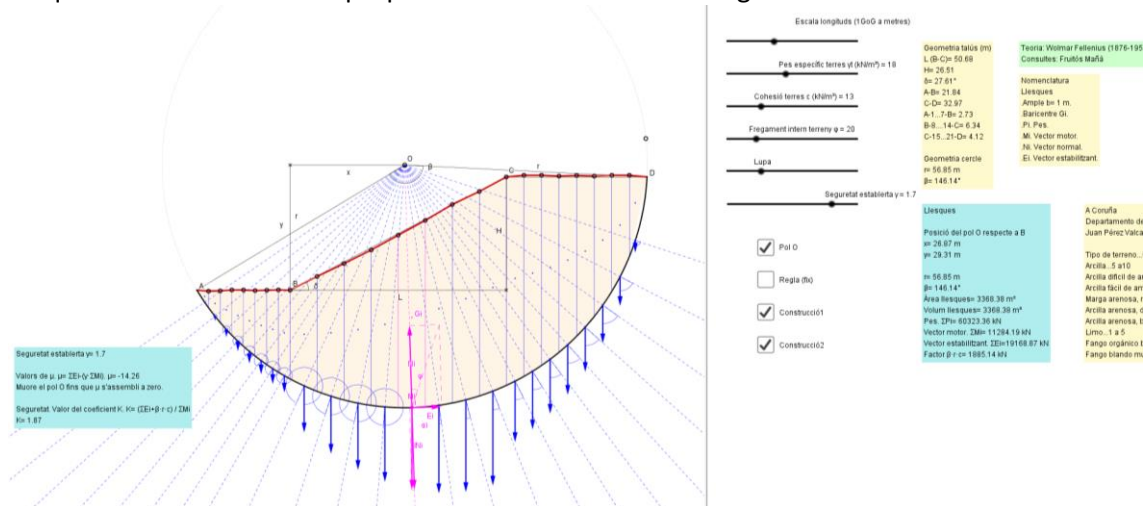


Fig. 8.9

8.6.1 Estabilitzaci3 tal3s. Vinculaci3 cercle i perfil. Exemple

En aquest exemple s'adapta el tal3s a un determinat perfil, com es veu a la fotografia, amb una longitud L de 4.96 m i una alçada H de 4.73 m (fig. 8.10). Com s'observa la seguretat 3s alta.

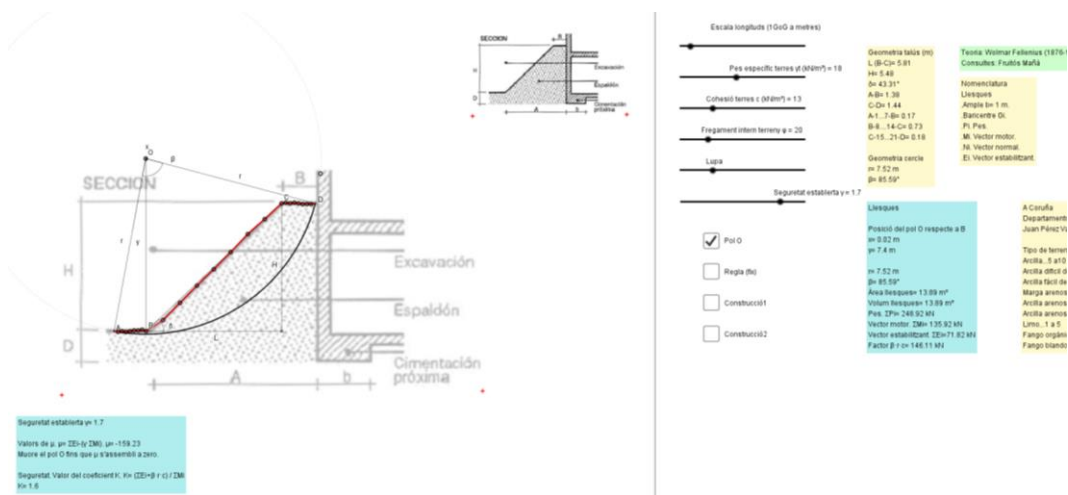


Fig. 8.10